



Componente plasmonice neliniare

Cristian Kusko¹, Roxana Tomescu^{1,2}, Mihai Kusko¹

1 Institutul National de Cercetare Dezvoltare pentru Microtehnologie IMT-Bucuresti

2 Facultatea de Electronica, Telecomunicatii si Tehnologia Informatiei, Politehnica Bucuresti

Abstract

Aceasta lucrare investigheaza un rezonator circular plasmonic care prezinta o neliniaritate de tip Kerr [2]. S-a demonstrat numeric si teoretic ca acest sistem prezinta instabilitati de tip Ikeda care conduc la aparitia unui regim de auto-oscilatie. Prin simulari numerice s-au pus in evidenta auto-oscilatii care prezinta dure de ordinul sutelor de femtosecunde.

S-a calculat teoretic regimul de bistabilitate al rezonatorului si s-au identificat regimurile de functionare ale acestuia ca functie de puterea undei incidente: regim stationar, regim de auto-oscilatie, regim haotic. De asemenea, s-a investigat acordabilitatea acestui sistem pentru a genera pulsuri cu frecvente diferite. Acest sistem poate prezenta aplicatii in generarea de radiatie de terahertz sau ca ceas optic cu pulsuri de ordinul sutelor de femtosecunde in circuite optice integrate.

Introducere - Plasmonica

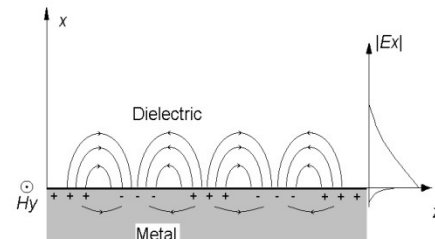
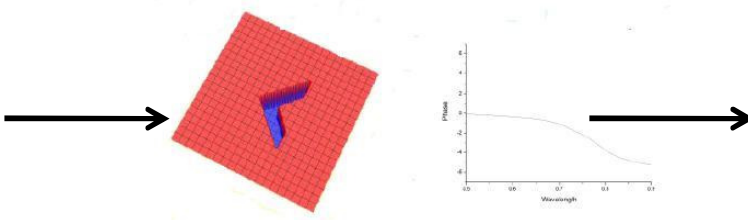
Plasmonica interacțiunea radiatiei cu gazul de electroni liberi prezent în metale sau în oxizi de metale conductivi [1].

Excitația rezultată din aceasta interacțiune → plasmon – polariton de suprafață (SPP)

- Localizare puternică la interfața dielectric – conductor → confinarea radiatiei la dimensiuni mult mai mici decât lungimea de undă.
- Ghiduri de undă plasmonice
- Proprietăți modale și de dispersie interesante: $v_g \ll c$ (slow modes), modul fundamental antisimetric, propagare left-handed: v_g sens opus v_f .

Aplicații

- prelucrarea semnalelor optice
- largă integrare a circuitelor plasmonice (la o scăala de ordinul nm)
- optica ultrarapidă
- **Plasmonica neliniara**
- nanoantene, metamateriale, metasuprafete



• Roxana Tomescu, Cristian Kusko, Mihai Kusko and Paul Schiopu, "FDTD simulations of plasmonic metasurfaces", ImagineNANO Bilbao, Spain, March (2015).

1. Gramotnev, D. K. ; Bozhevolnyi, Sergey I. , Plasmonics beyond the diffraction limit, Nature Photonics 4 , 83, 2010
2. Cao and Mark Brongersma. Active Plasmonics: Ultrafast developments. Nature Photonics, January 2009.
3. Nature Photonics 6 , 11, 2012 Focus Plasmonics

Plasmonica neliniara

Efecte neliniare – grad aditional de libertate pentru controlul excitatiei plasmonice

Controlul luminii cu ajutorul luminii – interactia foton foton facilitata de material

Martti Kauranen and Anatoly V. Zayats, Nature Photonics 6 737 (2012)

Intensificarea campului la interfata metal - dielectric

Fenomene neliniare asociate gazului (lichidului Fermi) din metal

Timp de raspuns ultrarapid (fs)

Dispersia, caracterul modal, si rezonantele asociate structurilor plasmonice

Aplicatii

Conversie de frecventa

Generarea armonicii a doua (SHG)

Propagare de solitoni

Comutatie optica

Modularea semnalelor optice

Metamateriale neliniare

Sisteme care prezinta autopulsatie – generare de pulsuri



Circuite integrate plasmonice cu grad ridicat de integrare cu timp de raspuns ultrascurt



Functionalitati noi

Autopulsatie

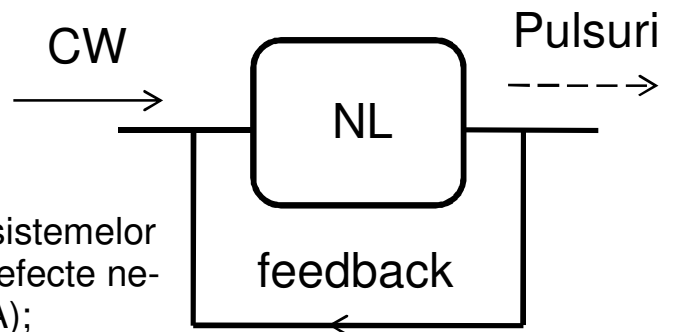
Input CW → Output pulsuri periodice sau haotice
Element neliniar + bucla de feedback

Curba de histeresi
Metoda bifurcatiilor Hopf
Teoria modurilor cuplate
Ecuatia Schrodinger neliniara discreta

Metoda FDTD

- dificultate in interpretarea sistemelor AP care prezinta o serie de efecte nelineare (Kerr, TPA, FCD, FCA);
- rezultate exacte (in limita aproximatiilor numerice)

J. Y. Gao , L. M Narducci, L. S. Schulman, M. Squicciarini, and J. M. Yuan, “Route to chaos in a hybrid bistable system with delay”, Phys. Rev A 28, 2910 (1983)

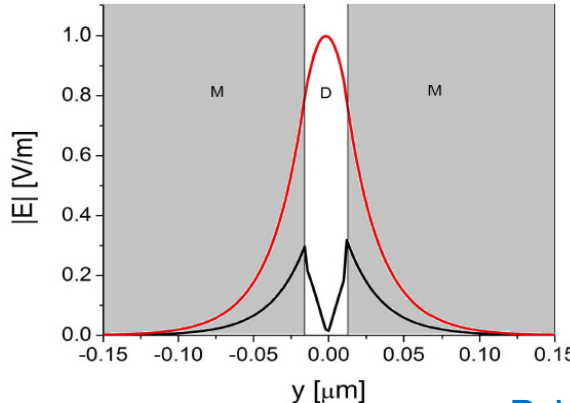


Sisteme AP in fotonica: Rezonatoare Fabry – Perot; Cristale fotonice; Cavitati cuplate

S. Chen, L. Zhang, Y. Fei and T. Cao, “Bistability and self-pulsation phenomena in silicon microring resonators based on nonlinear optical effects”, Opt. Express 20, 7454,(2012)
B. Maes, M. Fiers, and P. Bienstman, “Self-pulsing and chaos in short chains of coupled nonlinear microcavities”, Phys. Rev. A 80, 033805 (2009)

Element neliniar – ghid de unda plasmonic

Ghid de unda plasmonic liniar



Ghiduri plasmonice liniare de tip metal – dielectric – metal

Grad de confinare ridicat
Caracteristici modale interesante
Cut off la frecvente ridicate
Slow modes
Propagare negativa

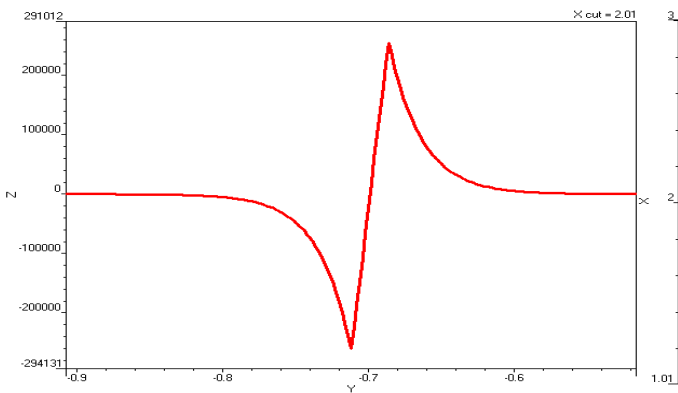
$$v_g = 0.04c$$

Intensificarea efectelor neliniare

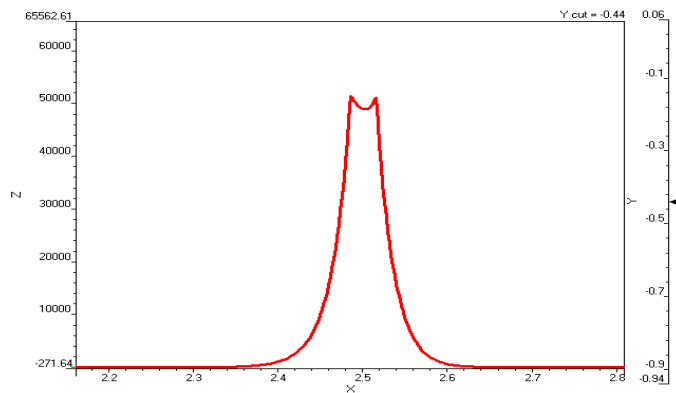
$$\rho = \epsilon_m / \epsilon_d$$

R. W. Boyd, "Material slow light and structural slow light: Similarities and differences for nonlinear optics," *J. Opt. Soc. Amer. B*, 28, 38, (2011).

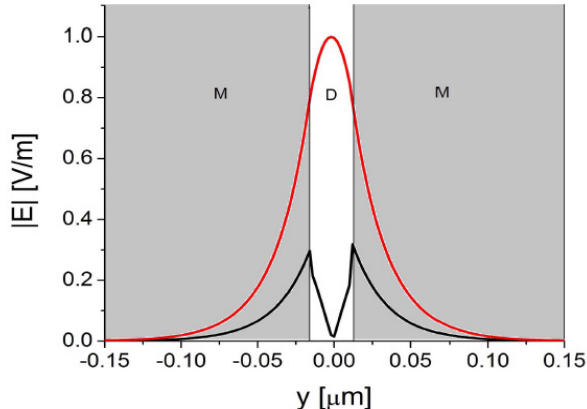
$\rho < 1$ Mod fundamental antisimetric



$\rho > 1$ Mod fundamental simetric



Ghid de unda plasmonic neliniar

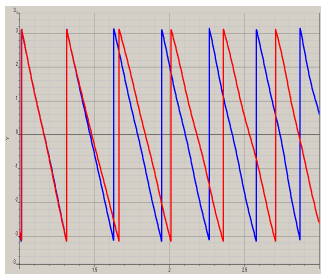


Mod fundamental antisimetric

$$\Delta n = 3/4n\chi^{(3)}|E_z|^2$$

$$\chi^{(3)} = 10^{-18} \text{ m}^2/\text{V}^2$$

$$\epsilon_{NL} = 12.25. \quad A_{III}B_V$$

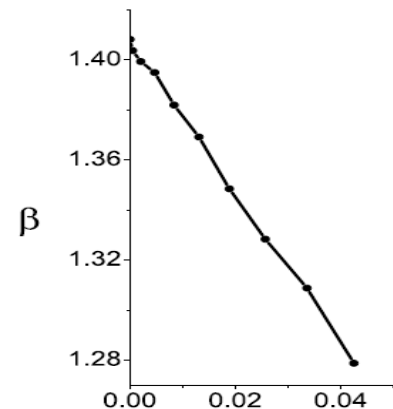


Ghiduri plasmonice neliniare de tip metal – dielectric – metal

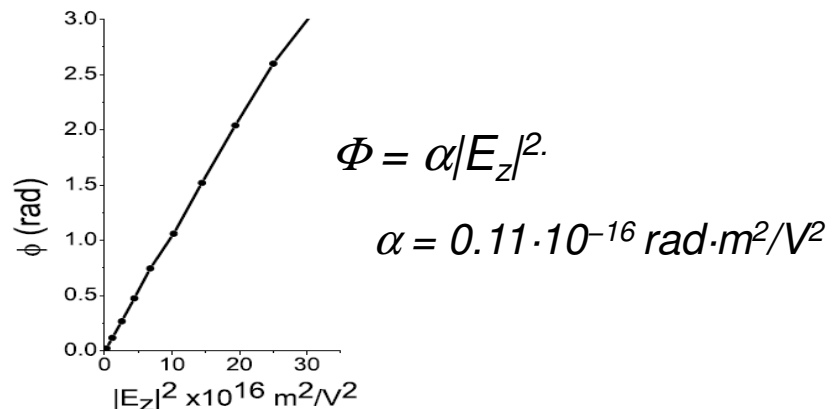
Dielectric – neliniaritate de tip Kerr

- aparitia unor caracteristici modale diferite de cazul liniar
- competitie intre modurile neliniare
- rupere de simetrie si puncte de bifurcatie
- moduri cu viteza de grup mica (slow modes)

[A. R. Davoyan, I. V. Shadrivov, and Y. S. Kivshar, “Nonlinear plasmonic slot waveguides”, Opt. Express 16, 21209 \(2008\)](#)



Dependenta constantei de propagare β a ghidului de unda neliniar fata de intensitatea campului electromagnetic.



Avansul de fază a unei excitări SPP care se propaga într-un ghid MDM neliniar ca funcție de intensitatea campului

Rezonator circular plasmonic nelinier

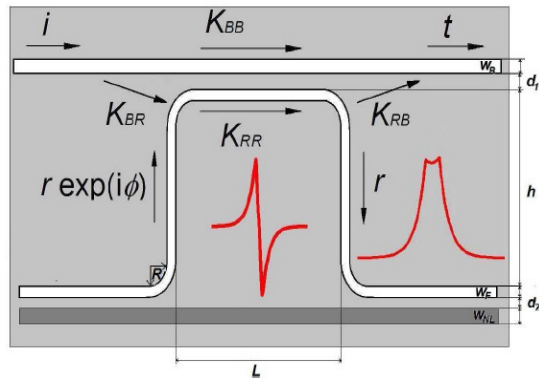


Diagrama rezonatorului plasmonic

Contracuplaj ghid feedback – ghid NL

Parametri geometrici

$$\begin{aligned} w_{NL} &= 26 \text{ nm} \\ w_F &= 30 \text{ nm} \\ d_1 &= 80 \text{ nm} \\ d_2 &= 66 \text{ nm} \\ L &= 600 \text{ nm} \\ H &= 700 \text{ nm} \end{aligned}$$

Temperaturi joase – reducerea ratei de imprastiere γ

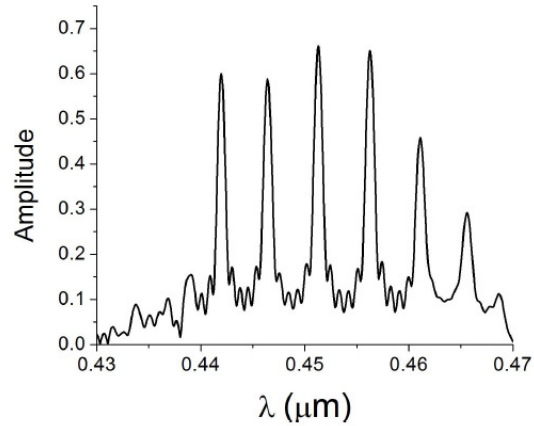
Parametri de material

$$\begin{aligned} &\text{Metal Au} \\ &\text{Permitivitate Drude} \\ &\varepsilon(\omega) = \infty - \omega_p^2 / (\omega^2 - i\gamma\omega) \\ &\omega_p = 1.346 \cdot 10^{16} \text{ rad/s} \\ &\gamma = 4.0 \cdot 10^{12} \text{ rad/s} \end{aligned}$$

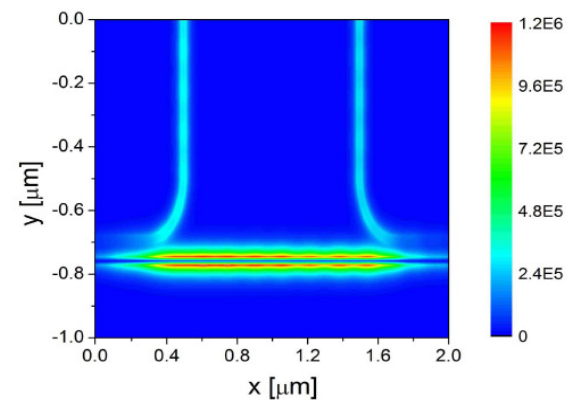
Parametri functionali

$$\begin{aligned} K_{BR} &= 0.27 \\ K_{RR} &= 0.94 \\ \Phi &= 2.34 \text{ rad} \\ \alpha &= 0.11 \cdot 10^{-16} \text{ rad} \cdot m^2/V^2 \\ a &= 0.9 \\ \lambda &= 444.6 \text{ nm} \end{aligned}$$

[Y. Gong and J. Vuckovic, “Design of plasmon cavities for solid-state cavity quantum electrodynamics applications”, Appl. Phys. Lett. 90, 033113 \(2007\)](#)



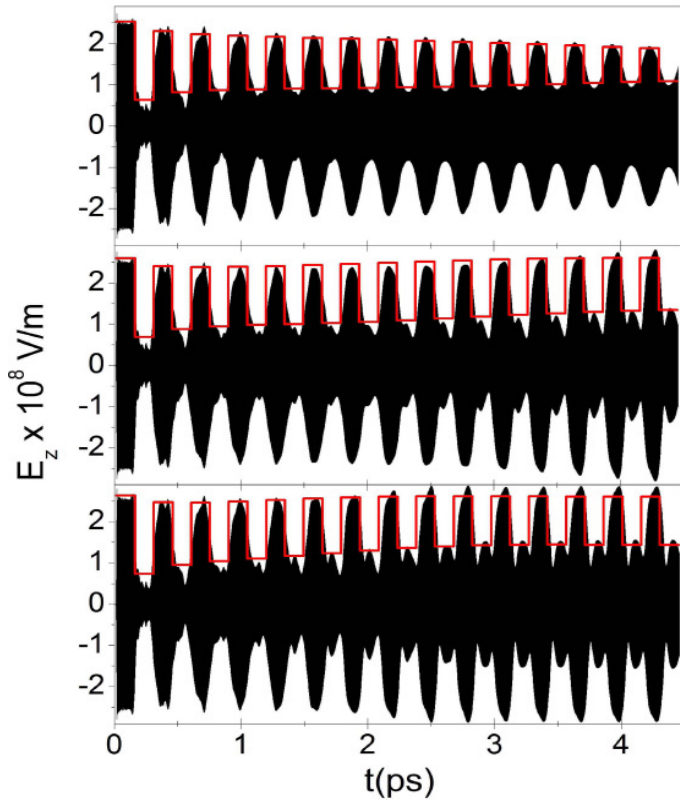
Caracteristica spectrala Q=1000



Simulare FDTD a Hy

Raspunsul temporal al rezonator circular plasmonic neliniar; Simulari FDTD

Calcule analitice



Cazul liniar \longrightarrow Stare stationara

$$r^{(n)} = K_{BR}i + aK_{RR}r^{(n-1)} \exp(i\phi)$$

Cazul neliniar \longrightarrow Autopulsatii

$$r^{(n)} = K_{BR}i + aK_{RR}r^{(n-1)} \exp(i\phi) \exp(i\alpha|r^{(n-1)}|^2).$$

Relatie iterativa neliniara

Instabilitate Ikeda

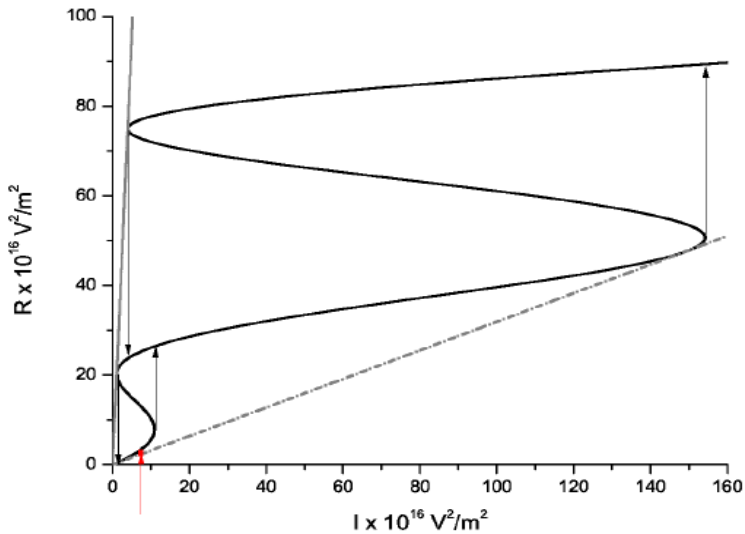
K. Ikeda, “Multiple-valued stationary state and its instability of the transmitted light by a ring cavity system,” *Opt. Commun.*, **30**, 257, (1979).

K. Ikeda and O. Akimoto, “Instability leading to periodic and chaotic self-pulsations in a bistable optical cavity,” *Phys. Rev. Lett.*, **48**, 617, (1982)

Raspunsul temporal ; linia neagra simulari FDTD;
linia rosie – calcule analitice

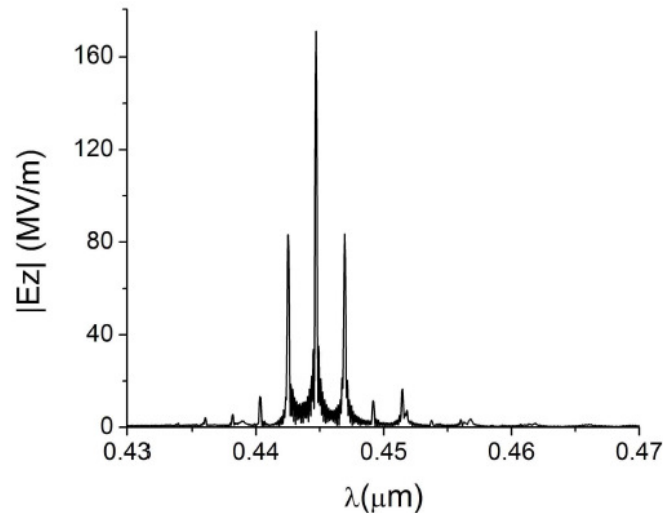
Pulsuri de ordinul sutelor de femtosecunde

Diagrama de bistabilitate; Raspunsul in frecventa



Intensitatea campului in interiorul rezonatorului ca functie de campul de input

- Forma de tip S; panta negativa; zona de bistabilitate
- Linia rosie reprezinta punctul de operare al rezonatorului.
- Ramura stabila a diagramei – caracteristica standard a oscilatiilor Ikeda



Raspunsul in frecventa (lungime de unda) a rezonatorului plasmonic nelinier – Comb diagram

$$\Delta\lambda = 2.2 \text{ nm}, \quad \Delta f = 3.3 \text{ THz}$$

$$|r|^2 = \frac{K_{BR}^2 |i|^2}{1 - 2a K_{RR} \cos(\phi + \alpha |r|^2) + a^2 K_{RR}^2}$$

Acordabilitatea duratei pulsurilor

Dispersia puternica a ghidului plasmonic MDM

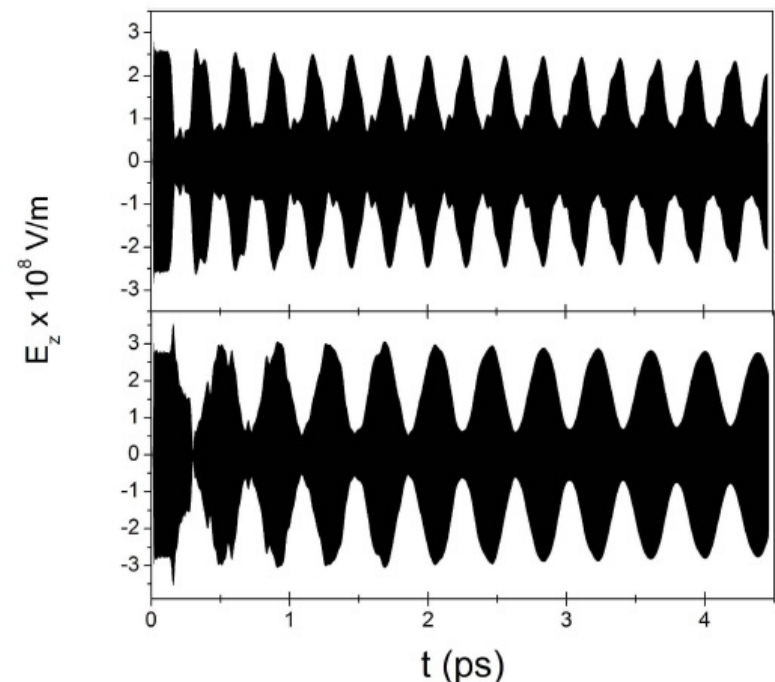
Variatia puternica a vitezei de grup cu lungimea de unda

Posibilitatea acordarii duratei pulsurilor cu λ campului de input

275 fs pentru $\lambda = 454.2 \text{ nm}$

380 fs pentru $\lambda = 441 \text{ nm}$.

300 fs pentru $\lambda = 444,6 \text{ nm}$.



Raspunsul temporal al rezonatorului circular plasmonic neliniar pentru doua lungimi de unda a campului de input.

Calcule analitice utilizand relatia Ikeda

Analiza diagramei de bistabilitate si a diferitelor regimuri de functionare

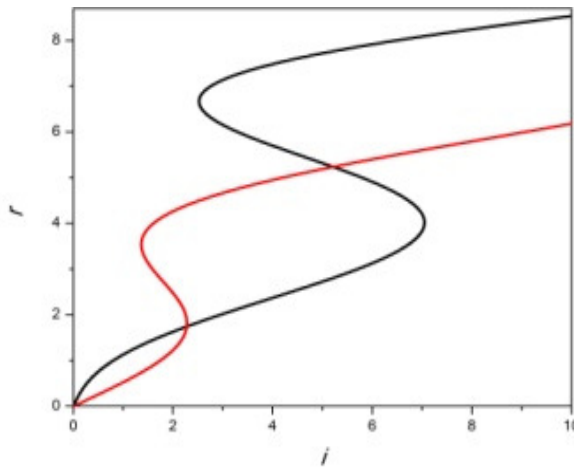
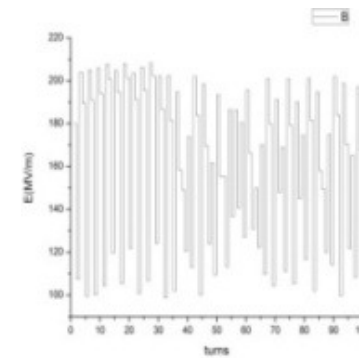
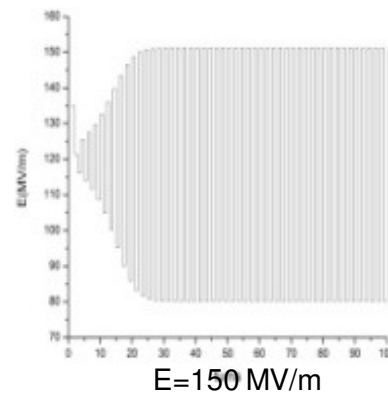
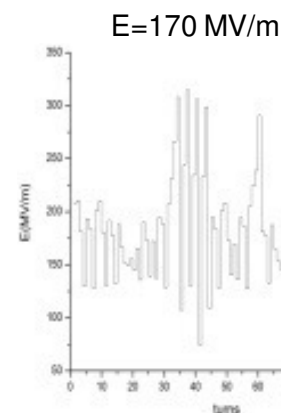
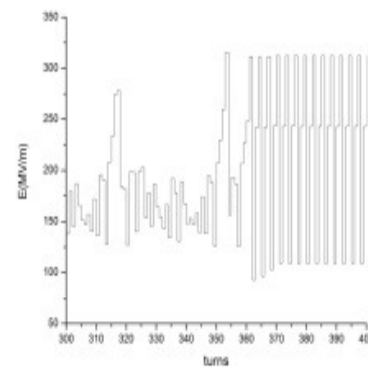


Diagrama de bistabilitate
 $\alpha=0.9 \text{ rad.m}^2/\text{MV}^2$,
KRR=0.4
 $\phi=0.2$ (linia neagră)
 $\phi=\pi-0.2$ (linia rosie)



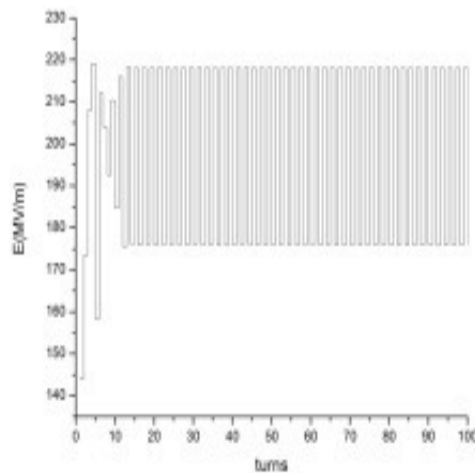
Caz 1 $\phi=0.2 \text{ rad}$



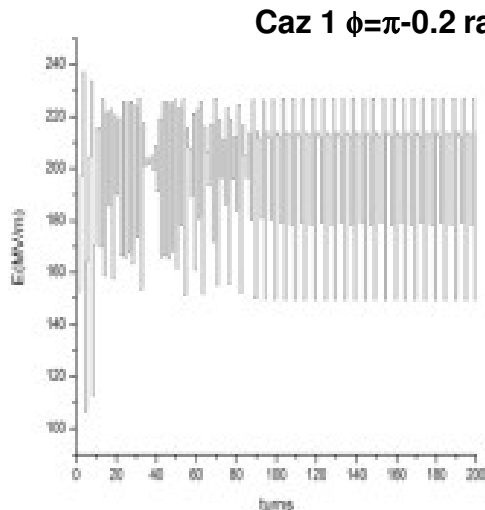
$E=170 \text{ MV/m}$

$E=231 \text{ MV/m}$

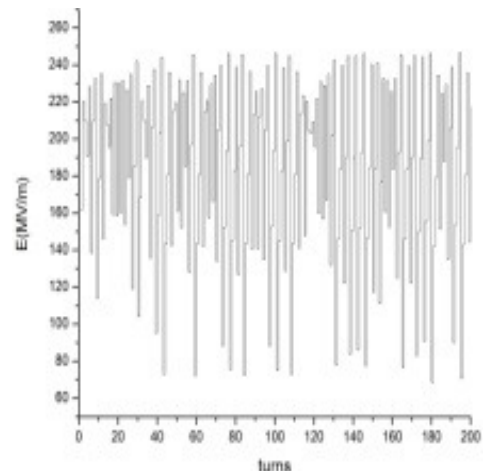
Calcule analitice utilizand relatia Ikeda



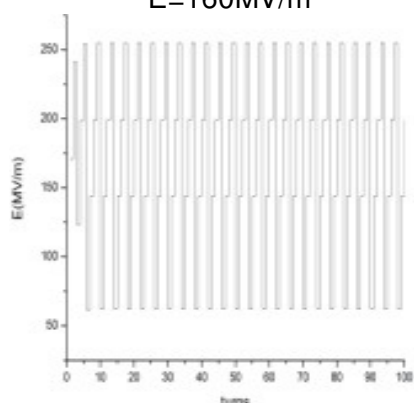
$E=160\text{MV/m}$



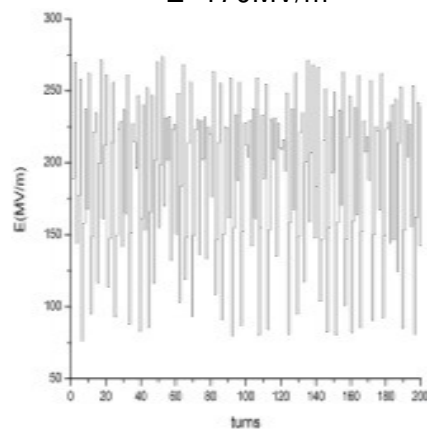
$E=170\text{MV/m}$



$E=180\text{MV/m}$



$E=190\text{MV/m}$



$E=210\text{ MV/m}$

Regim de autopulsatie cu doua nivele

Regim haotic

Regim de autopulsatie cu mai multe nivele

Concluzii

- Regim auto – pulsatoriu pentru rezonator circular plasmonic neliniar
 - Intensificarea efectelor neliniare Kerr intr-un ghid plasmonic de tip MDM
 - Variatia indicelui nonliniar $\Delta n=0.01$ compatibila cu cea din semiconductori de tip AlIBV
 - Generare de pulsuri cu perioada acordabila de ordinul a sute de femtosecunde
 - Instabilitate de tip Ikeda
 - Ruta catre obtinerea de haos determinist
 - Posibile aplicatii: generare de THz, ceasuri optice pentru circuite integrate plasmonice sau fotonice
- Cristian Kusko “Self-Pulsation in a Nonlinear Plasmonic Ring Resonator”,
IEEE Journal of Quantum Electronics, **49**, 1080 (2013).

Rezultatele obtinute in acesta lucrate de catre Roxana Tomescu au fost obtinute cu sprijinul Ministerului Fondurilor Europene prin Programul Operational Sectorial Dezvoltarea Resurselor Umane 2007-2013, Contract nr. POSDRU/159/1.5/S/134398.